



Iranian Journal of Polymer  
Science and Technology  
Vol. 22, No. 4, 261-272  
October-November 2009

ISSN: 1016-3255

## Preparation of Polystyrene Nanocomposite by In Situ Atom Transfer Radical Polymerization: Study of Polymerization Kinetics in the Presence of Clay

H. Roghani-Mamaqani, M. Najafi, V. Haddadi-Asl\*, and M. Salami-Kalajahi

Department of Polymer Engineering, Amirkabir University of Technology, P.O. Box: 15875-4413,  
Tehran, Iran

Received 30 May 2009, accepted 26 August 2009

### ABSTRACT

**S**trene nanocomposites were synthesized by in-situ atom transfer radical polymerization at 110°C. The variations of monomer conversion and the linearity of semilogarithmic kinetic plot, some signs of living polymerization and constant radical concentration in the reaction medium, were revealed by gas chromatography technique (GC). According to the gel permeation chromatography (GPC) results, the number average molecular weight increased linearly against the monomer conversion indicating the living nature of the polymerization. Weight average molecular weight and polydispersity of nanocomposites were also derived from GPC data. In addition, the PDI value was wider for polymers extracted from nanocomposite samples, and still widened as the clay content increased. Moreover, all the samples experienced a fall in PDI value from nearly 2 to almost 1.1 as the reaction progressed. FTIR results are indications of some interactions between clay surface and monomer, which may be attributed to higher rated in polymerization kinetics. XRD displayed no peak in in-situ synthesized nanocomposites indicating an exfoliated structure in the prepared nanocomposites; conversely, a solution blending technique resulted in an intercalated structure. AFM phase images well displayed the dispersion of nanoclay in the polymeric matrix. The delamination of clay platelets in the polymer matrix of in-situ prepared nanocomposite is demonstrated by TEM images; on the other hand, TEM results revealed the intercalated structure of nanocomposites prepared by solution blending technique.

### Key Words:

nanocomposite,  
polystyrene,  
ATRP,  
nanoclay,  
kinetics

(\* )To whom correspondence should be addressed.

E-mail: haddadi@aut.ac.ir



مجله علوم و تکنولوژی پلیمر،  
سال بیست و دو؛ شماره ۲،  
صفحه ۱۳۸۸-۱۲۶۱  
ISSN : 1016-3255

## تهیه نانوکامپوزیت پلی استیرن به روش پلیمرشدن رادیکالی انتقال اتم درجا: بررسی سینتیک واکنش در مجاورت خاکرس

حسین روغنی ممقانی، محمد نجفی، وحید حدادی اصل\*، مهدی سلامی کلجاله‌ی

تهران، دانشگاه صنعتی امیرکبیر، دانشکده مهندسی پلیمر، صندوق پستی ۱۵۸۷۵-۴۴۱۳

دریافت: ۸۷۹/۸، پذیرش: ۸۷۹/۴

### چکیده

پلیمرشدن درجا برای تهیه نانوکامپوزیت پلی استیرن با روش ATRP در دمای  $110^{\circ}\text{C}$  به کار گرفته شده است. به کمک روش رنگنگاری گازی (GC) تغییرات درجه تبدیل بررسی و نمودار سینتیکی نیز رسم شده است. نمودار سینتیکی خطی حاصل، بیان گر ماهیت زنده پلیمرشدن و مقدار غلظت ثابت رادیکال آزاد است. هم‌چنین، نمودار تغییرات متوسط عددی و وزنی وزن مولکولی و شاخص پراکندگی با استفاده از روش رنگنگاری ژل تراوایی بررسی شده است. نمودار خطی وزن مولکولی عددی نسبت به درجه تبدیل نیز نمایان گر ماهیت زنده پلیمرشدن است. توزیع وزن مولکولی در نمونه نانوکامپوزیت پهن بوده و با افزایش مقدار نانوذرات پهن‌تر شده است. در همه نمونه‌ها شاخص پراکندگی نیز با پیش‌رفت واکنش باریک‌تر شده به نحوی که از مقادیر بزرگ‌تر از ۲ شروع و در انتهای واکنش به حدود ۱/۱ رسیده است. نتایج FTIR برهم‌کنش بین نانوذرات و موئونر را نشان می‌دهد. چنین برهم‌کنشی باعث افزایش سرعت واکنش و شاخص پراکندگی نمونه‌ها با افزایش مقدار نانوذرات شده است. نتایج پراش پرتو X نمایان گر ساختار ورقه‌ای حاصل از روش پلیمرشدن درجاست، در حالی که روش اختلاط مذاب منجر به ساختار بین‌لایه‌ای شده است. تصاویر AFM پراکنش مناسب لایه‌های خاکرس در زمینه پلیمری را نشان می‌دهند. تصاویر TEM پراکنش مناسب صفحات نانو در نانوکامپوزیت حاصل از روش درجا و نیز ساختار بین‌لایه‌ای در نانوکامپوزیت حاصل از روش اختلاط در محلول را نشان می‌دهد.

### واژه‌های کلیدی

نانوکامپوزیت،  
پلی استیرن،  
پلیمرشدن رادیکالی انتقال اتم،  
نانو خاکرس،  
سینتیک

\* مسئول مکاتبات، پیام نگار:

haddadi@aut.ac.ir

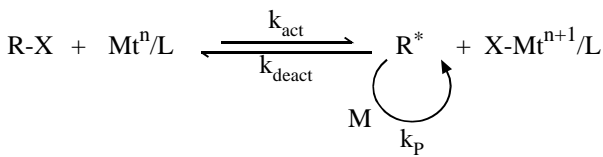
## مقدمه

ستاره‌ای، شاخه‌ای و شانه‌ای) یا ترکیبی از این ساختارها قابل سنتز هستند [۱۱].

در روش ATRP کنترل پلیمرشدن از راه تعادل دینامیکی بین غلظت‌های زیاد مرآکر غیرفعال و غلظت‌های کم مرآکر فعال با انتقال اتم یا گروه حاصل می‌شود (طرح ۱). در این روش فلز انتقالی  $Mt^n$ , که قابلیت به اشتراک گذاشتن الکترون با رادیکال هالید ناشی از شکستن آغازگر را دارد، به همراه لیگاند کمپلکس کننده  $L$  به عنوان کاتالیزور ATRP شناخته می‌شود. کمپلکس فلز انتقالی  $Mt^n/L$  مسئول شکست همگن پیوند آلکیل هالید  $R-X$  است که کمپلکس هالید فلزی مشابه با درجه اکسایش بیشتر ( $Mt^{n+1}X/L$ ) و رادیکال آلوی  $R^*$  (با ثابت سرعت  $k_{act}$ ) را تشکیل می‌دهد.  $R^*$  می‌تواند با مونومر وینیلی رشد کند ( $k_p$ ) یا مانند پلیمرشدن رادیکال آزاد معمولی از راه تسهیم نامناسب یا جفت شدن خاتمه یابد ( $k_i$ ) و یا به طور عکس در موازنی با  $Mt^{n+1}X/L$  برای تشکیل زنجیر پلیمری غیرفعال با سر هالیدی غیرفعال شود ( $k_{deact}$ ). [۱۲، ۱۳].

مطابق با مراجع تهیه درجای نانوکامپوزیت پلی استیرن با روش پلیمرشدن آنیونی زنده و با استفاده از واکنش تعویض کاتیونی خاک رس اصلاح نشده با نمک آمونیوم توسط Zhou و همکاران [۱۴] و با روش نشاندن آغازگر پلیمرشدن رادیکالی روی صفحات خاک رس اصلاح نشده توسط Xiaowu و همکاران [۱۵] گزارش شده است.

Zhao و همکاران با روش ATRP نانوکامپوزیت پلی استیرن، پلی متیل متاکریلات و پلی نرمال بوتیل آکریلات را با استفاده از خاک رس اصلاح نشده تهیه کرده‌اند [۱۶]. در این پژوهش، روش تهیه و خواص نانوکامپوزیت حاصل به طور مفصل بررسی شده است. اثر نانوذرات خاک رس بر سینتیک واکنش پلیمرشدن بررسی نشده است. Haimanti و همکاران اثر افزایش نانوذرات خاک رس و نیز افزایش زمان تورم نانوذرات با مونومر اتیل آکریلات را بر وزن مولکولی زنجیرهای پلیمری نانوکامپوزیت حاصل از روش ATRP بحث کرده‌اند [۱۷]. آنها با استفاده از برهم‌کنش گروه کربوکسیل موجود در بوتیل آکریلات و بار منفی موجود روی صفحات خاک رس به تبیین علل افزایش وزن مولکولی با افزایش مقدار نانوذرات و زمان تورم پرداخته‌اند. Behling و همکاران اثر مقدار پیوند (چگالی پیوند) آغازگر ATRP را



طرح ۱ - پلیمرشدن رادیکالی انتقال اتم.

در سال‌های اخیر نانوکامپوزیت‌های پلیمر - خاک رس به علت وجود خاک رس غیرآلی با خواص گرمایی و مکانیکی زیاد به همراه پلیمر آلی با خواص کشسانی زیاد در یک ماده، توجه بسیار زیادی را به خود جلب کرده‌اند. این مواد به علت خواص نو و بسیار زیاد، کاربردهای زیادی در پوشش سطوح با خواص بالا، کاتالیزورها، سامانه‌های رهایش دارو و سایر موارد یافته‌اند. با افزایش خاک رس به زمینه پلیمر و تغییر مقدار ترکیب درصد اجزا، بهبود قابل توجهی در بسیاری از خواص پلیمر زمینه مانند خواص مکانیکی، مقاومت گرمایی، مقاومت در برابر اشتعال، خواص مغناطیسی، خواص الکتریکی، عبورپذیری، افزایش مدول و بهبود خواصی نظری پایداری ابعادی و سختی سطح مشاهده شده است [۱]. تا کنون برای تهیه نانوکامپوزیت‌های پلیمر - خاک رس سه روش اختلاط مذاب [۲]، اختلاط در محلول [۳] با استفاده از حلال‌های قطبی و پلیمرشدن درجا [۴، ۵] به کار گرفته شده است. در روش اختلاط مذاب، پلیمر در دمای بالای انتقال شیشه‌ای به فضای بین صفحات خاک رس وارد شده و در اثر نیروهای برشی باعث پراکنش صفحات در زمینه پلیمر می‌شود. روش در محلول شامل اختلاط خاک رس و محلول پلیمر است. در این روش ساختار نانوکامپوزیت حاصل بستگی به ماهیت حلال، غلظت محلول، برهم‌کنش بین پلیمر و سطح خاک رس و هم چنین مقدار کاهش انرژی دارد. در روش پلیمرشدن درجا، مونومر در مجاورت خاک رس پلیمر می‌شود. بنابراین، به دلیل نسبت کم وزن مولکولی مونومر به پلیمر، نفوذ مونومر در فاصله بین صفحات خاک رس آسان‌تر و در نتیجه به طور عمدۀ ساختار ورقه‌ای حاصل می‌شود. افزون بر این، روش مزبور به دلیل روش‌های بسیار متنوع پلیمرشدن، کنترل بهینه ساختار مولکولی پلیمر و ساختار نانوکامپوزیت حاصل می‌شود. پلیمرشدن درجا به روش‌های تعلیقی [۶] در محلول [۶، ۷]، توده [۷، ۸]، امولسیونی یا ریزامولسیونی [۸، ۹] انجام شده است.

با گسترش روش‌های پلیمرشدن و به وجود آمدن روش‌های پلیمرشدن زنده، امکان تهیه پلیمرهای با ساختار مولکولی مشخص و هم چنین وزن مولکولی از پیش معین شده فراهم شده است [۱۰]. از میان روش‌های پلیمرشدن رادیکالی زنده، روش ATRP به علت حساسیت کمتر به ناخالصی‌ها و نیز به دلیل آسان بودن شرایط پلیمرشدن مانند دما و فشار، بیش از سایر روش‌های پلیمرشدن رادیکالی زنده مورد توجه قرار گرفته است. با استفاده از روش ATRP پلیمرهای با عاملیت‌های مختلف (عاملیت انتهای زنجیر یا عاملیت در طول زنجیر)، پلیمرهای با ترکیب درصدی‌های متفاوت (هموپلیمرها، کوپلیمرهای تصادفی، قطعه‌ای، گرادیانی و پیوندی) و پلیمرهای با توپولوژی متفاوت (خطی،

تبديل فوريه Bomem و ميكروسكوب کاونده پويشي DME مدل DSC26 به کار گرفته شده است.

### روش ها

تئیه پلی استیرن به روش پلیمرشدن رادیکالی انتقال اتم برای تئیه پلی استیرن ابتدا  $g/2869 \cdot 0.002$  برمید مس ( $mol/0.002$ ) به عنوان کاتالیزور فلز انتقالی به راكتور شيشه ای دوجداره افزوده شد. سپس، ورودی های مواد راكتور به وسیله درپوش های لاستیکی بسته شد. اين مرحله باید با دقت کافی همراه باشد، چون حین انجام واکنش نباید امکان ورود اکسیژن به محیط واکنش وجود داشته باشد. سپس، محیط واکنش سه مرتبه عاری از اکسیژن شد و با گاز خنثی نیتروژن پر شد. در جو نیتروژن،  $22/04 mL$  مونومر استیرن ( $mol/0.002$ ) به همراه  $0/5 mL$  آنسیول (استاندارد داخلی GC) به محیط واکنش اضافه شد. سپس،  $0/417 mL$  از  $0/002 mol$  PMDETA (که نقش لیگاند را دارد، به وسیله سرنگ به محیط واکنش اضافه شد. مخلوط حاصل پس از هم زدن به مدت  $15 min$  به علت تشکیل کمپلکس فلز انتقالی با لیگاند (CuBr/PMDETA) به محلولی همگن با رنگ سبز روشن تبدیل شد. سپس،  $0/2934 mL$  آغازگر اتيل آلفابرموایزوپوتیرات ( $mol/0.002$ ) به مخلوط واکنش اضافه شد. به علت تشکیل کمپلکس فلز انتقالی با درجه اکسایش بیشتر با لیگاند موجود در محیط واکنش (CuBr/PMDETA) محلول همگن با رنگ سبز روشن به مخلوط همگن با رنگ سبز تیره تغییر یافت. با رساندن دمای محیط واکنش به  $110^\circ C$  واکنش شروع شد. با افزایش دما و افزایش غلظت کمپلکس فلز انتقالی با درجه اکسایش بیشتر محیط واکنش کاملاً ناهمگن شد.

تئیه نانوکامپوزیت پلی استیرن به روش پلیمرشدن رادیکالی انتقال اتم برای تئیه نانوکامپوزیت پلی استیرن ابتدا مقدار دلخواه خاک رس (۲ و ۴ درصد وزنی نسبت به مونومر) که با مونومر استیرن ( $22/04 mL$ ،  $0/002 mol$ ) به مدت زمان مناسب متورم شده بود، به راكتور دوجداره شيشه ای افزوده شد. سپس،  $g/2869 \cdot 0.002$  mol CuBr به مخلوط راكتور اضافه شد. بقیه مراحل آزمایش مطابق با فرایند معمولی تئیه پلی استیرن به روش ATRP است که در بخش قبل آمده است.

تئیه نانوکامپوزیت پلی استیرن به روش اختلاط در محلول مقدار  $g/5$  از پلی استیرن تئیه شده به روش ATRP در  $75 mL$  زايلن حل شد. مقدار  $g/1$  خاک رس اصلاح شده مربوط نيز به مدت  $2 h$  در  $50 mL$  از همان نوع حلال هم زده شد. سپس، اختلاط محلول پلی استیرن به همراه خاک رس اصلاح شده و پراکنده شده در حلال،

بر سینتیک پلیمرشدن از روی سطوح صفحات خاک رس بررسی کرده اند. آنها به علت مجاورت آسان گروه های آغازگر با کاتالیزور فلز انتقالی و افزایش احتمال قرار گرفتن زنجیرهای پلیمری در حالت فعال را علت افزایش سرعت پلیمرشدن بيان کرده اند [۱۸].

در اين کار، تئیه درجای نانوکامپوزیت پلی استیرن با خاک رس اصلاح شده (30B Cloisite) به روش ATRP و مشخصات نانوکامپوزیت حاصل و هم چنین سینتیک واکنش پلیمرشدن رادیکالی انتقال اتم در مجاورت نانوذرات و در كل اثر نانوذرات بر خواص سینتیکی واکنش بررسی می شود (طرح ۲).

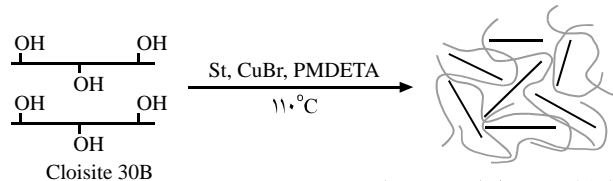
### تجربی

### مواد

استیرن (محصول Aldrich، خلوص ۹۹ درصد) از ستون پرشده با الومینای خنثی عبور داده شده و پس از خشک کردن با کلسیم هیدرید زیر فشار کاهش یافته تقطیر شد ( $65^\circ C$  در  $35 mmHg$ ). برمید مس (I) (محصول Aldrich، خلوص ۹۸ درصد) برای حذف هر نوع اکسید کننده محلول با استیک اسید شست و شو داده شد و پس از عبور از کاغذ صافی و شست و شو با اتانول و خشک سازی استفاده شده است. خاک رس (Cloisite 30B) برای تبخیر رطوبت موجود، به مدت  $24 h$  در گرم خانه خلاء در دمای  $65^\circ C$  قرار گرفت. اتيل آلفابرموایزوپوتیرات (EBiB)، محصول Aldrich، خلوص ۹۷ درصد) و پیتامتیل دی اتیلن تری آمین (PMDETA، محصول Aldrich، خلوص ۹۹ درصد) پس از خالص سازی با روش تقطیر مورد استفاده قرار گرفتند. آنسیول (محصول Aldrich، خلوص ۹۹ درصد) و زايلن ( $P$ -Xylene)، محصول Siemens، Agilent 1100 خلوص ۹۹ درصد) نيز بدون عملیات جانبی خاصی استفاده شده است.

### دستگاه ها

رنگ نگار گازی Agilent-6890N، رنگ نگار ژل تراوای Waters مدل D500، پراش سنج Siemens طیف سنج زیر قرمز



نانوکامپوزیت پلی استیرن ورقه ای شده

طرح ۲ - تئیه نانوکامپوزیت پلی استیرن به روش ATRP.

مس به وسیله ستون آلومنیا، محلول باقی مانده در فرامرکرگریز با سرعت زیاد قرار گرفت. سپس، با صاف کردن محلول حاصل به وسیله کاغذ صافی با قطر منافذ حدود  $0.2\text{ }\mu\text{m}$ ، صفحات نانو خاک رس از زمینه پلیمر جدا شد. جدایش صفحات نانو برای جلوگیری از آسیب احتمالی ستون های رنگ نگار و نیز جلوگیری از خطای اعمال شده در نتایج ضروری است.

نمودارهای پراش پرتو X در زاویه  $2\theta$  در محدوده  $10^{\circ}\text{--}2$  درجه و با استفاده از پرتو با طول موج  $7540.56\text{ nm}$  در دمای محیط به دست آمدند. سرعت تصویربرداری معادل با  $0.02^{\circ}/\text{s}$  و ولتاژ و جریان به ترتیب برابر با  $35\text{ kV}$  و  $20\text{ mA}$  تنظیم شد.

طیف FTIR با استفاده از طیف سنج FTIR در محدوده طول موج  $4000\text{--}4000\text{ cm}^{-1}$  به دست آمد. به طور متوسط برای هر نمونه ۸ مرتبه تصویربرداری انجام شد. برای انجام این آزمایش، نمونه ها با پخش شدن پودر نانوکامپوزیت یا پلیمر در قرص KBr و سپس زیر فشار  $0.01\text{ torr}$  تهیه شدند.

نتایج AFM با استفاده از دستگاه میکروسکوپ کاونده پویشی در حالت Tapping و با استفاده از سرقلم مستطیلی سیلیکونی با پوشش آلومنیم و با ثابت فنر  $50\text{ N/m}$  و بسامد رزونانس  $190\text{ kHz}$  حاصل شد. تصاویر به دست آمده در جو هوا و دمای محیط ثبت شده اند.

## نتایج و بحث

در شکل ۱ نمودار سینتیکی و درصد تبدیل نمونه های نانوکامپوزیتی و پلیمری نشان داده شده است. مطابق با نتایج وجود نانو ذرات خاک رس باعث افزایش سرعت پلیمرشدن می شود. در حقیقت نانو ذرات نقش کاتالیزور را در واکنش پلیمرشدن دارد. چنین امری می تواند به علت برهم کنش بار الکترونی روی گروه های هیدروکسیل خاک رس مصرفی و حلقه فنیل استیرن باشد. چنین اثر فرایانده بر سرعت پلیمرشدن استیرن [۱۹] و مونومرهای دیگری نظیر اتیل آکریلات [۲۰] نیز گزارش شده است. درباره بوتیل آکریلات علت چنین اثر فرایانده سرعت، برهم کنش گروه کربوکسیل موجود در بوتیل آکریلات و بار منفی موجود روی صفحات خاک رس است. در مواردی که پلیمرشدن با آغازگر از روی سطح شروع شود، نانو ذرات خاک رس باعث کاهش سرعت پلیمرشدن می شود که سبب آن عمل<sup>ا</sup> غیرفعال شدن آغازگر چسبیده به صفحات خاک رس در اثر تجمع صفحات خاک رس است. در نتیجه، با کاهش کسری از آغازگر که امکان شروع زنجیر فعلی و رشد کننده را دارد است، سرعت پلیمرشدن کاهش می یابد [۲۱]. این در حالی است که اگر

برای دست یابی به مخلوطی همگن به مدت  $3\text{ h}$  دیگر ادامه یافت. محصول به دست آمده به منظور حذف کامل حلال، به مدت  $24\text{ h}$  در گرم خانه خلاء در دمای  $65^{\circ}\text{C}$  قرار گرفت.

نام گذاری نمونه های پلیمری و نانوکامپوزیتی بر اساس نحوه تهیه، مقدار پراکنش نانو ذرات در مونومر و درصد نانو ذرات در جدول ۱ آورده شده است.

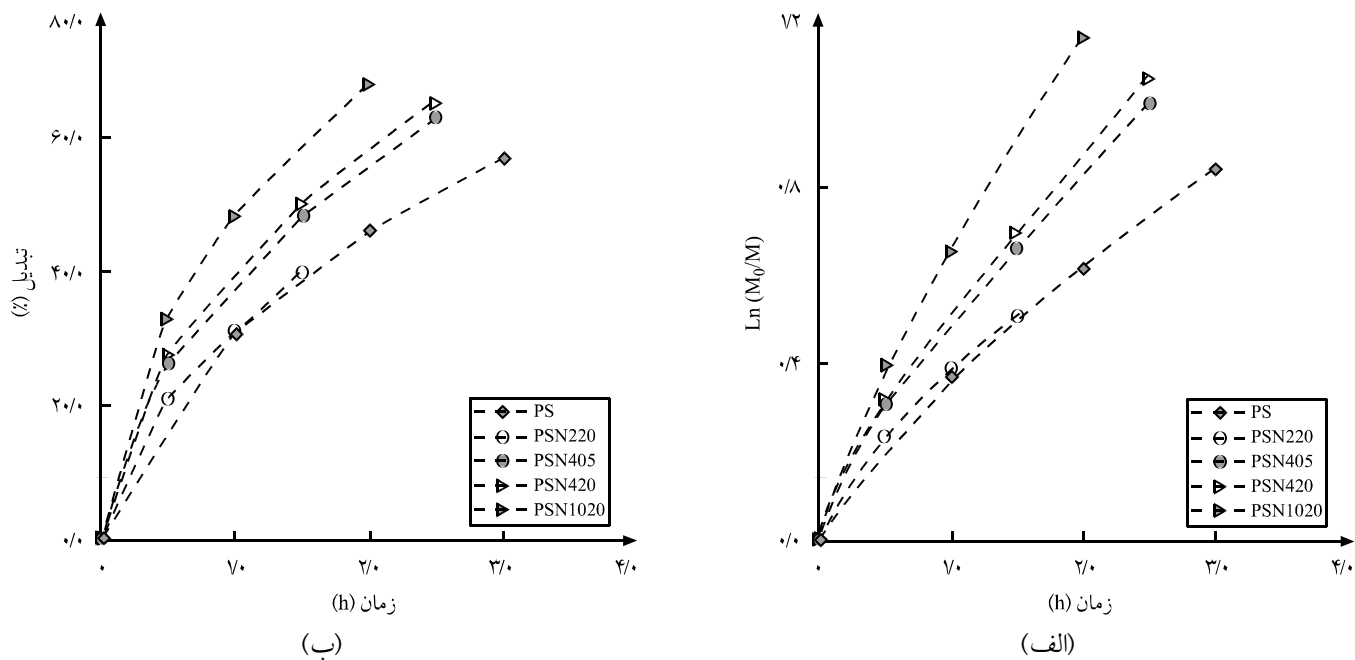
## تعیین مشخصات

برای تعیین مقدار درجه تبدیل و رسم نمودار سینتیکی از روش رنگ نگاری گازی استفاده شده است. بدین ترتیب، نمونه هایی در زمان های متفاوت از محتويات راکتور گرفته شد و با روش رنگ نگاری گازی، مقدار استیرن واکنش نداده (مونومر موجود در محیط) اندازه گیری شده است. مقدار درجه تبدیل از تقسیم غلظت مونومر تبدیل شده به پلیمر بر غلظت اولیه مونومر به دست آمده است.

برای تعیین متوسط عددی وزن مولکولی و توزیع آن از روش رنگ نگاری ژل تراوایی با ریدیاب بر اساس شاخص شکست استفاده شده است. ستون های استفاده شده به شکل متوالی به هم وصل شدند ( $\text{A}^{\circ}\text{--}1000\text{ A}^{\circ}\text{--}500\text{ A}^{\circ}\text{--}10\text{ }\mu\text{m}$ ). ماده مرجع پلی استیرن استاندارد و حلال مورد نظر تراهیدروفوران با سرعت حجمی  $1\text{ mL/min}$  در دمای  $30^{\circ}\text{C}$  بود. از آن جا که نمونه های خروجی از راکتور مقدار زیادی کمپلکس فلز انتقالی مس دارند، برای جلوگیری از آسیب دیدن ستون های دستگاه GPC و جلوگیری از خطای احتمالی، نیاز به خارج سازی یون مس از نمونه هاست. بنابراین، نمونه ها در حلال زایلن حل شده و از ستون سیلیکا و سپس آلومنیای خنثی عبور داده شدند. بدین ترتیب، یون مس در ستون جذب شده و محلول پلی استیرن در زایلن از ستون خارج شد. در نمونه های نانوکامپوزیت، نمونه های تهیه شده در حلال زایلن حل و پس از جدایی ذرات کاتالیزور فلز انتقالی

جدول ۱ - نام گذاری نمونه ها.

نمونه	روش تهیه	مقدار خاک رس (%)	مقدار مونومر با خاک رس (h)	مدت زمان اختلاط
PS	ATRP	۰	—	
PSN220	ATRP درجا	۲	۲۰	
PSN420	ATRP درجا	۴	۲۰	
PSN405	ATRP درجا	۴	۵	
PSN1020	ATRP درجا	۱۰	۲۰	
PSN2SI	اختلاط در محلول	۲	—	



شکل ۱ - تغییرات: (الف) نمودار سینتیکی نیمه لگاریتمی و (ب) درجه تبدیل با زمان.

ظاهری است و به علت ثابت بودن تعدادی از متغیرهای معادله و نیز بر اساس واکنش تعادل پلیمر شدن رادیکالی انتقال اتم تعریف می شود. ثابت های سرعت ظاهری برای نمونه های تهیه شده در این کار در جدول ۲ آورده شده است. این ثابت سرعت محاسبه شده از روی شبیب نمودار نیمه لگاریتمی تغییر غلظت مونومر می تواند بیان گر سرعت پلیمر شدن باشد. با توجه به این که مقدار غلظت رادیکال ها در پلیمر شدن رادیکالی انتقال اتم ثابت و در حدود  $10^{-8} \text{ mol/L}$  است، بنابراین  $k_{app}$  مستقیم از روی شبیب نمودار به دست می آید. مطابق داده های جدول ۲ افزایش مقدار نانوذرات و افزایش زمان هم زدن باعث افزایش  $k_{app}$  می شود. شایان ذکر است، درباره نمونه های دارای نانوذرات بیش از ۴ درصد وزنی مونومر به علت عدم امکان انجام

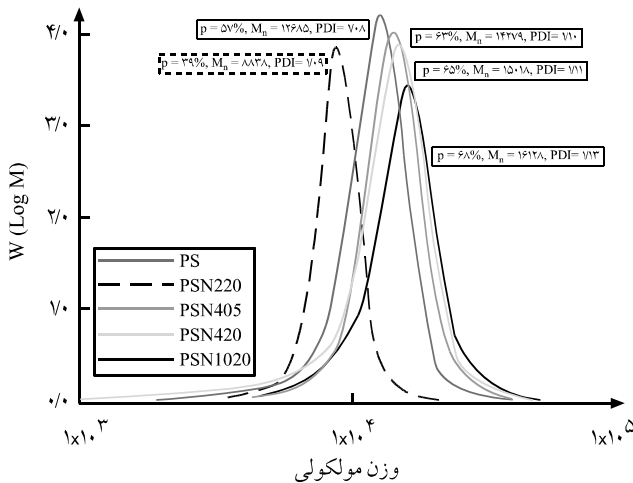
جدول ۲ - نتایج سینتیکی حاصل از GC.

درصد افزایش نسبت به نمونه PS	درصد افزایش نسبت به نمونه قبل	$k_{app} \times 10^{-5} (\text{s}^{-1})$	نمونه
—	—	7/82	PS
۲۱	۲۱	۹۴۵	PSN220
۳۷	۱۶	۱۷۰۴	PSN420
۴۲/۷	۵/۷	۱۷۶۷	PSN405
۷۸/۷	۳۶	۱۵/۸۶	PSN1020

اصلاح کننده خاک رس که حامل آغازگر است، با همراه داشتن یک زنجیر هیدروکربنی چند ده کربنی مانع از تجمع صفحات خاک رس شود، باعث افزایش سرعت پلیمر شدن و وزن مولکولی می شود. علت این امر مجاورت آسان گروه های آغازگر با کاتالیزور فلز انتقالی و افزایش احتمال قرار گرفتن زنجیر های پلیمر در حالت فعال است [۱۸]. ملاحظه می شود، با افزایش مقدار نانوذرات روند افزایش مقدار درصد تبدیل و هم چنین افزایش شبیب نمودار سینتیکی به وضوح دیده می شود. خطی بودن نمودار نیمه لگاریتمی سینتیکی از ویژگی های سامانه پلیمر شدن رادیکالی زنده است. همان طور که در شکل ۱ مشاهده می شود، نمودارهای سینتیکی که مقدار مصرف مونومر بر حسب زمان را به شکل نیمه لگاریتمی نشان می دهند ( $\ln(M_0/M)$  بر حسب زمان)، خطی هستند. شبیب این نمودارها از روی معادله (۱) به دست می آیند:

$$\ln(M_0/M) = \frac{k_p K_{ATRP} [P_n - X][Cu^{I+}]}{[Cu^{II+}]} t = k_{app}^* [P_n^+] t \quad (1)$$

در این معادله  $M_0$  و  $M$  به ترتیب غلظت اولیه و غلظت در لحظه  $t$  مونومر است.  $[I]$ ،  $[Cu^{I+}]$ ،  $[Cu^{II+}]$  و  $[P_n^+]$  به ترتیب غلظت فلز انتقالی در کمترین حالت اکسایش، غلظت فلز انتقالی در بیشترین حالت اکسایشی و غلظت گونه غیرفعال کننده و فعال کننده است.  $k_p$  ثابت سرعت رشد و  $K_{ATRP}$  ثابت تعادل واکنش ATRP است.  $k_{app}^*$  ثابت سرعت



شکل ۲ - نمودار توزیع وزن مولکولی نمونه پلی استیرن و سایر نمونه های نانوکامپوزیتی.

شدن توزیع وزن مولکولی می شوند. پس وجود نانوذرات تا حد بسیار کمی از خصلت زنده پلیمرشدن نسبت به پلیمرشدن خالص استیرن می کاهد. کاهش بازده آغازگر با افزایش مقدار نانوذرات نیز مؤید این مطلب است. با افزایش زمان تورم نانوذرات در مجاورت مونومر وزن مولکولی و درصد تبدیل زیاد می شود. سازگاری نانوذرات و مونومر باعث تورم بیشتر نانوذرات با افزایش زمان هم زدن مونومر و نانوذرات می شود. با رسوب مونومر بین صفحات نانو اثر کاتالیزوری نانوذرات بیشتر ملاحظه می شود. بنابراین، مقدار درصد تبدیل افزایش می باید. از طرفی باعث کاهش بازده آغازگر می شود که علت آن نیز پراکنش بیشتر ناخالصی در محیط مونومر و برهم خوردن بیشتر حالت زنده پلیمرشدن است. چنین اثر افزایشی سرعت پلیمرشدن و وزن مولکولی با افزایش زمان تورم خاک رس در مونومر برای پلیمرشدن اتیل آکریلات در مجاورت نانوذرات خاک رس نیز مشاهده شده است [۱۷]. در این باره گروه کربوکسیل موجود در ساختار مونومر اتیل آکریلات به دلیل

محاسبات سینتیکی در اثر زیاد بودن گرانزوی محیط واکنش، از همان دقایق نخستین واکنش از مقداری حلال بی اثر آنسیول برای رقیق سازی محیط واکنش استفاده شده است.

بر اساس داده های حاصل از آزمایش رنگ نگاری ژل تراوایی، امکان محاسبه وزن های مولکولی متوسط عددی و وزنی و نیز شاخص پراکندگی نمونه های پلیمری و نمونه های نانوکامپوزیتی پس از جدایش صفحات نانو از زمینه پلیمر فراهم می شود. در محاسبه وزن مولکولی به روش نظری نیاز به داشتن درجه تبدیل است. بنابراین، وزن مولکولی عددی نظری به کمک داده های آزمون رنگ نگاری گازی به دست می آید. وزن مولکولی نظری از معادله (۲) به دست می آید:

$$M_n^{\text{Theo}} = \frac{[M]_0}{[I]_0} \times p \times M_0 \quad (2)$$

در این معادله  $[M]_0$  و  $[I]_0$  به ترتیب غلظت اولیه مونومر و آغازگر است.  $p$  درجه تبدیل و  $M_0$  وزن مولکولی واحد تکراری پلیمر مورد نظر (برای استیرن این مقدار برابر  $104/15 \text{ g/mol}$  است. جدول ۳ وزن های مولکولی و شاخص پراکندگی نمونه های پلیمری و نانوکامپوزیتی را نشان می دهد. ارتباط مناسب بین وزن مولکولی متوسط عددی تجربی و نظری و به دنبال آن بازده زیاد آغازگر نشان گر کنترل مناسب بر پلیمرشدن و برقراری شرایط مناسب برای زنده بودن پلیمرشدن است. نتایج حاصل از آزمون GPC در شکل ۲ آورده شده است. مطابق نتایج، وزن مولکولی نمونه های پلیمری استخراج شده از نمونه های نانوکامپوزیتی وزن مولکولی بیشتری از نمونه پلیمری خالص دارند و با افزایش مقدار نانوذرات، وزن مولکولی محصول افزایش یافته است. پس با افزایش نانوذرات نه تنها پلیمرشدن کند یا بازداشت نمی شود، بلکه نانوذرات اثر کاتالیزوری دارند و وزن مولکولی زیاد می شود.

از طرفی به علت این که نانوذرات به عنوان ناخالصی در محیط پلیمرشدن هستند، باعث افزایش شاخص پراکندگی و در نتیجه پهن

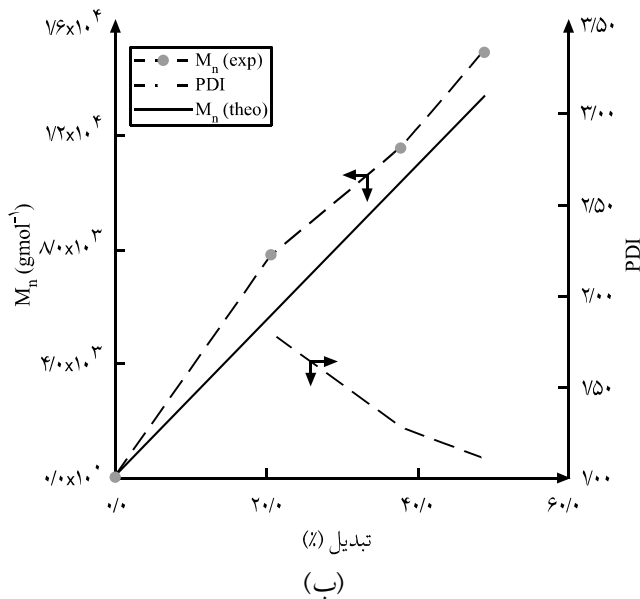
جدول ۳- نتایج حاصل از GPC.

شناخت پراکندگی	وزن مولکولی متوسط (g/mol)	بازده آغازگر	وزن مولکولی متوسط عددی (mol/g)		درصد تبدیل	زمان واکنش (min)	نمونه
			تجربی	نظری			
۷۰۸	۱۳۷۰۴	۰/۹۴	۱۲۶۸۵	۱۱۹۲۳	۵۷	۲۱۰	PS
۷۰۹۹	۹۷۲۰۶	۰/۹۳	۸۸۳۸	۸۲۱۹	۳۹	۹۰	PSN220
۷۱۱	۱۶۷۶۲	۰/۹۱	۱۵۰۱۸	۱۳۶۶۶	۶۵	۱۵۰	PSN420
۷۱۰	۱۵۷۰۳	۰/۹۲	۱۴۲۷۹	۱۳۱۳۶	۶۳	۱۵۰	PSN405
۷۱۳	۱۸۲۲۳	۰/۸۹	۱۶۱۲۸	۱۴۳۵۴	۶۸	۱۲۰	PSN1020

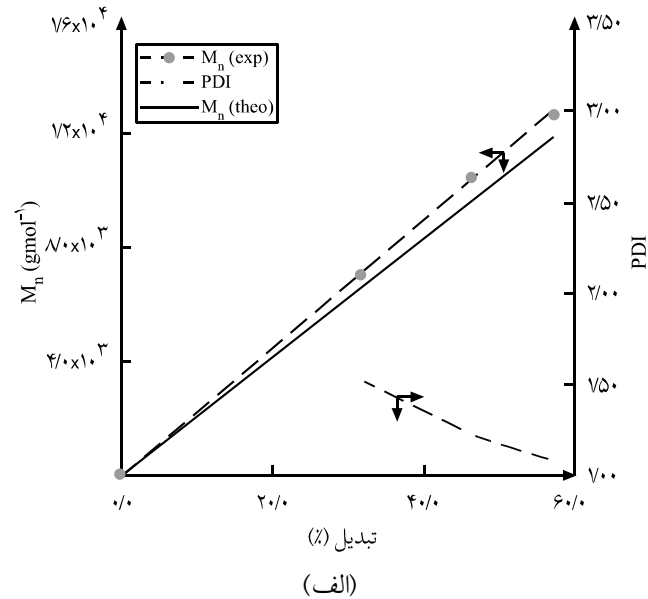
پراکندگی به دست آمده است [۱۶، ۱۷]. شکل ۳ نمودار وزن مولکولی عددی و شاخص پراکندگی نمونه های PS، PSN405 و PSN420 را بر حسب درصد تبدیل نشان می دهد. خطی بودن نمودار وزن مولکولی متوسط عددی بر حسب درصد تبدیل از ویژگی های پلیمرشدن زنده است. ملاحظه می شود که نمودار وزن مولکولی بر حسب زمان تا حد زیادی خطی است و این نشان دهنده کنترل بهینه پلیمرشدن است.

شاخص پراکندگی با توجه به معادله (۳) نسبت عکس با درجه تبدیل

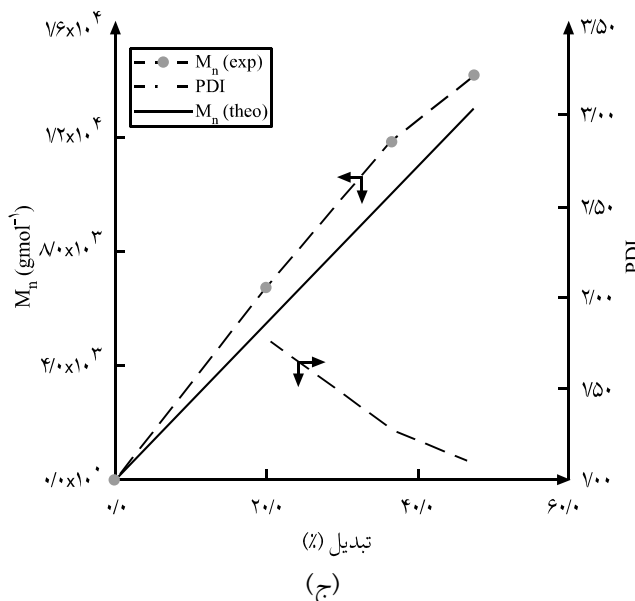
بر هم کنش با بار منفی موجود روی صفحات خاک رس باعث جنین رفتاری می شود. روند افزایشی شاخص پراکندگی در نتیجه روند کاهشی بازده آغازگر است. همچنین، با وجود ناخالصی نانوذرات باز هم شرایط سنتز پلیمر با ساختار مولکولی و وزن مولکولی معین در اثر ایجاد شرایط پلیمرشدن زنده تا حدود بسیار زیادی فراهم است. کم بودن قابل ملاحظه شاخص پراکندگی در این پژوهش دلیلی بر کنترل بهینه بر سامانه پلیمرشدن است، در حالی که در موارد پژوهشی مشابه که اثر سینتیکی نانوذرات بررسی شده است، مقادیر بیشتری از شاخص



(ب)



(الف)



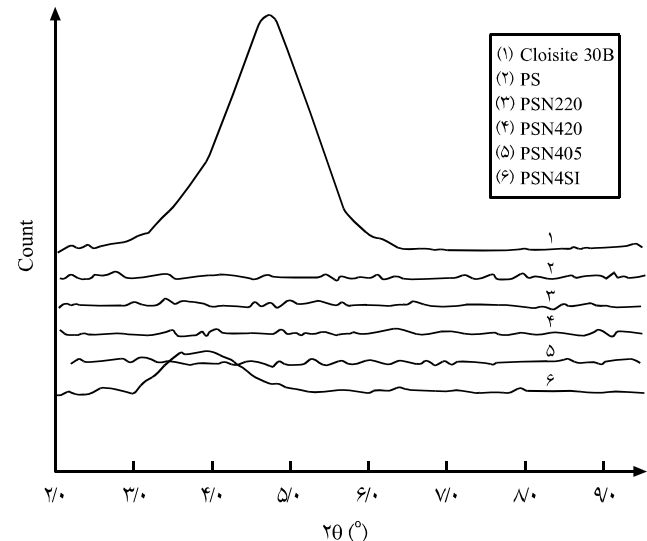
(ج)

شکل ۳ - نمودار وزن مولکولی عددی و شاخص پراکندگی نمونه های مختلف بر حسب درصد تبدیل: (الف) PS، (ب) PSN420 و (ج) PSN405.

که در این معادله  $d$  فاصله بین لایه‌ای،  $\lambda$  طول موج پرتو X به کار گرفته شده و  $\theta$  زاویه پراش است.

با توجه به شکل ۴ مشاهده می‌شود، هیچ کدام از نمونه‌های نانوکامپوزیتی تهیه شده به روش درجا قله پراش خاصی نشان نداده‌اند که نشان گر این حقیقت است که زاویه پراش  $001\text{d}$  در نتیجه افزایش فاصله بین صفحات خاک رس به مقادیری کوچک‌تر ( $2\theta < 20^\circ$ ) انتقال یافته است. بنابراین، نانوذرات به شکل همگن در محیط پلیمر پراکنده شده‌اند و محصول نانوکامپوزیت ورقه‌ای حاصل شده است. برای نمونه نانوکامپوزیت تهیه شده به روش در محلول قله پراش در  $2\theta = 20^\circ$  برابر  $3/928^\circ$  مشاهده می‌شود که معادل با فاصله بین صفحه‌ای معادل با  $22/43\text{\AA}$  است. این گونه رفتار به علت حصول ساختار بین لایه‌ای است. نانوذرات نیز فاصله بین صفحه‌ای معادل با  $187/44\text{\AA}$  ( $2\theta = 4/716^\circ$ ) نشان می‌دهند. پلی استیرن خالص نیز به علت عدم وجود صفحات خاک رس هیچ قله پراشی نشان نمی‌دهد. در غلظت‌های تا  $10$  درصد وزنی خاک رس نیز هیچ نشان پراشی مشاهده نشد که نتیجه آن در نمودار آورده نشده است.

شکل ۵ طیف FTIR مربوط به نمونه خالص پلیمری و هم‌چنین طیف مربوط به نمونه‌های نانوکامپوزیتی تهیه شده در شرایط مختلف را نشان می‌دهد. نتایج حاصل از طیف‌های FTIR و هم‌چنین اعداد موجی مربوط به پیوندهای قطبی موجود در نمونه‌ها در جدول ۴ آورده شده است. برای مقایسه اثر نانوذرات خاک رس بر پلیمرشدن و عکس العمل زمینه و نانوذرات، طیف FTIR نانوذرات نیز آورده است. در کار پژوهشی مشابه از طیف FTIR برای مشاهده اثر نانوذرات بر حرکت‌های براونی زنجیری استفاده شده است که نتایج این پژوهش نیز بیان گر برهم‌کنش گروه‌های الکترون کشیده موئیم با گروه‌های دارای



شکل ۴ - نمودار پراش پرتو X بر حسب زاویه پراش.

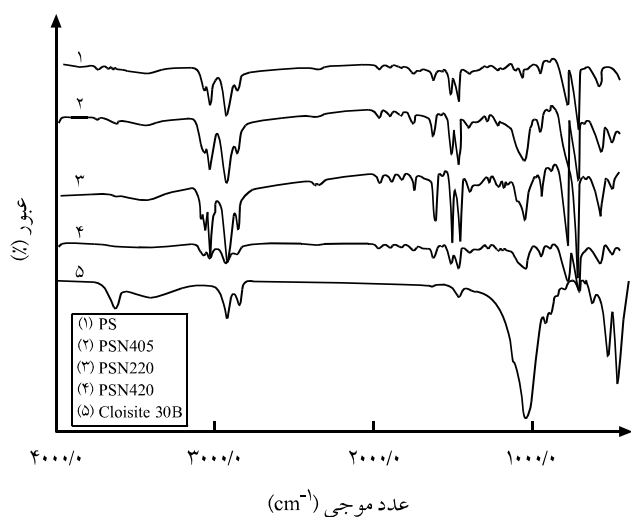
و درجه پلیمرشدن دارد که در نمودار شکل ۴ به وضوح این رابطه قابل مشاهده است:

$$PDI = 1 + \frac{1}{DP_n} + \left( \frac{k_p ([RX]_0 - [RX])}{k_{deact} [Cu^{II}]} \right)^{\frac{2}{p}} - 1 \quad (3)$$

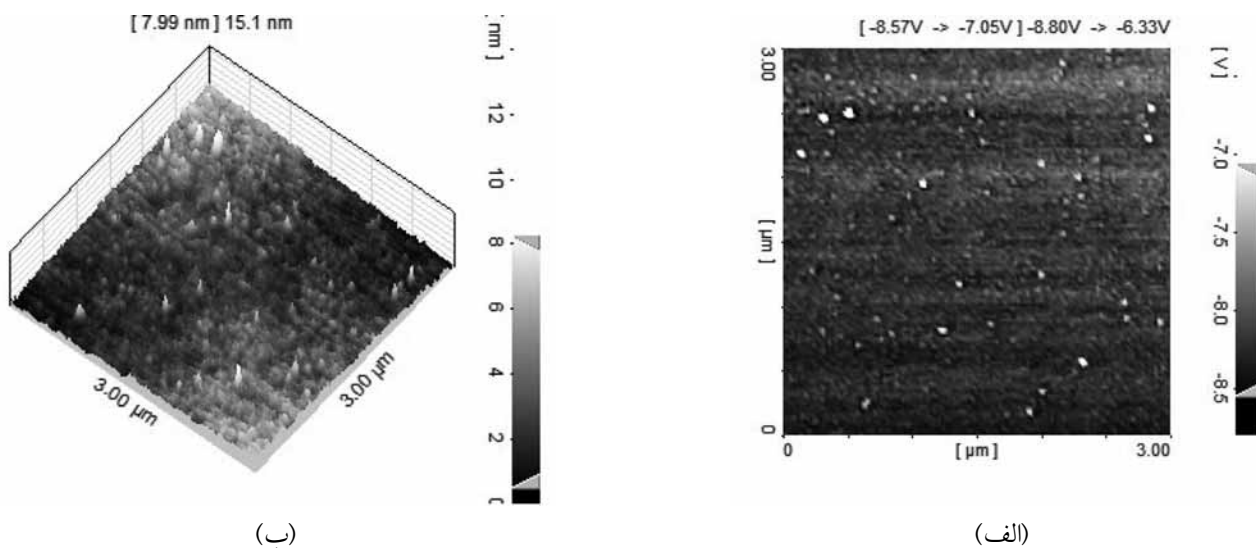
در این معادله  $PDI$  و  $p$  به ترتیب شاخص پراکنده‌گی، درجه پلیمرشدن و درجه تبدیل،  $k_p$  و  $k_{deact}$  به ترتیب ثابت سرعت رشد و ثابت سرعت غیرفعال سازی و  $[RX]_0$  و  $[RX]$  به ترتیب غلظت اولیه و غلظت در زمان  $t$  آغازگر است.

نیروی چسبندگی بین صفحات خاک رس از نوع نیروی واندروالس و نیروی ضعیف دوقطبی است. بر اساس داده‌های روش XRD امکان بررسی نحوه پراکنش صفحات خاک رس در زمینه پلیمری فراهم می‌شود. بدین ترتیب، در نواحی که صفحات خاک رس به طور کامل از هم جدا شده و در زمینه پلیمر پراکنده شده‌اند، پراش پرتو X به دلیل همگنی محیط مشاهده نمی‌شود. اما، در نواحی که صفحات از هم جدا نشده‌اند یا در طول هم لغزیده و پراکنده نشده‌اند، پراش پرتو X مشاهده می‌شود. با توجه به زاویه پراش امکان محاسبه فاصله بین صفحات خاک رس فراهم می‌شود. یادآور می‌شود، این فاصله در اثر نفوذ موئیم، زنجیر پلیمر نیروی برش از مقدار اولیه افزایش می‌یابد. فاصله بین صفحات خاک رس با استفاده از قانون Bragg (معادله ۴) محاسبه می‌شود:

$$d = \lambda / (2 \sin \theta) \quad (4)$$



شکل ۵ - طیف FTIR نمونه‌های نانوکامپوزیتی و پلیمری.



شکل ۶- تصویر AFM نمونه PSN420 با بزرگ نمایی ۳ mm: (الف) SPM و (ب) تصویر جدایش فاز.

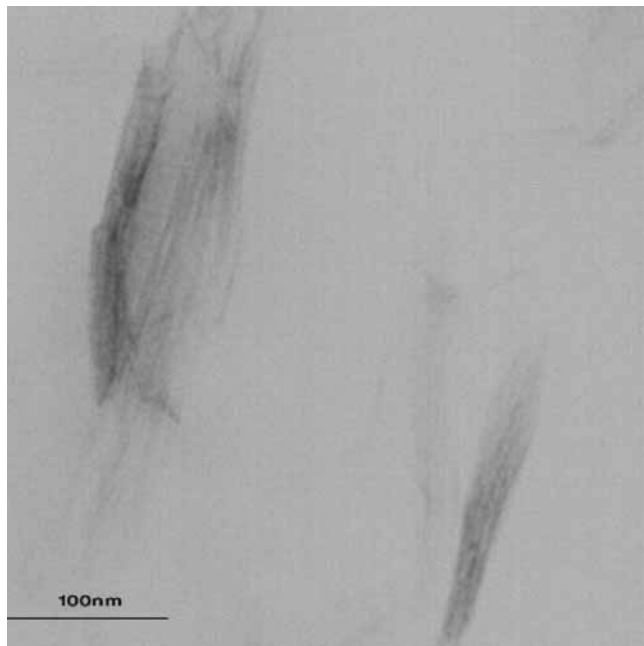
خاک رس با توده الکترونی حلقه فنیل پلی استیرن است. نوسانات مربوط به پیوند Si-O نانوذرات خاک رس در حدود عدد موجی  $1047\text{ cm}^{-1}$  ملاحظه می شود. در نمونه های نانوکامپوزیت مشاهده می شود، این پیک تا حدودی به سمت اعداد موجی کمتر جایه جا می شود. به طوری که عدد موجی  $1028\text{ cm}^{-1}$  مشخصه این پیوند در نمونه های نانوکامپوزیتی است. این امر می تواند در نتیجه برهم کنش گروه Si-O نانوذرات خاک رس با توده الکترونی حلقه فنیل پلی استیرن باشد. وجود پیک پراش در محدوده عدد موجی  $755\text{ cm}^{-1}$  که مؤید وجود پیوند C-Br است، نشان دهنده ماهیت زنده انتهای زنجیر است. با استفاده از ماهیت زنده زنجیر (وجود پیوند C-Br) است که امکان سنتز کوپلیمر دسته ای، شاخه ای و ستاره ای فراهم می شود. وجود سایر

بار جزئی منفی خاک رس است [۲۰]. در حالی که در این کار آثار برهم کنش ناشی از رزونانس جزئی مونومر و بار جزئی منفی خاک رس و اثر آن بر عکس العمل سایر پیوندهای شیمیایی قطبی موجود در نانوذرات خاک رس در برابر پرتو IR بررسی شده است.

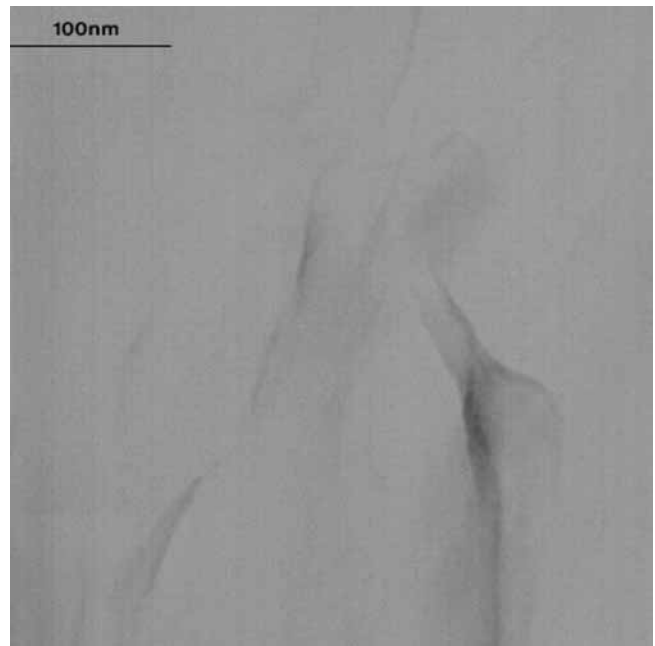
با توجه به نتایج، جذب در عدد موجی  $3200-3200\text{ cm}^{-1}$  مربوط به نوسان پیوند C-H سیرنشده حلقه فنیل استیرن است. هم چنین، نوسان خارج از صفحه حلقه فنیل در حدود اعداد موجی  $697$  و  $598\text{ cm}^{-1}$  موجی  $3628\text{ cm}^{-1}$  ملاحظه می شود. در نمونه های نانوکامپوزیت مشاهده می شود، این پیک تا حدودی به سمت اعداد موجی کمتر جایه جایی دارد که این امر در نتیجه برهم کنش گروه O-H نانوذرات

جدول ۴- عدد موجی ( $\text{cm}^{-1}$ ) مربوط به برخی پیوندها در نمونه های پلیمری و نانوکامپوزیتی.

نمونه					پیوند شیمیایی
PSN220	PSN420	PSN405	Cloisite 30B	PS	
697	697	697	—	697	حلقه فنیل
1601, 1493, 1452	1600, 1491, 1449	1600, 1492, 1449	—	1600, 1492, 1450	C=C
3200, 2900	3200, 2900	3200, 2900	—	3200, 2900	آروماتیک C-H
462	459	461	463	—	Al-O
1028	1027	1028	1047	—	Si-O
3623	3624	3624	3628	—	O-H
1760, 1750	1760, 1750	1760, 1750	—	1760, 1750	C=O
756	755	755	—	755	C-Br



(ب)



(الف)

شکل ۷ - تصویر TEM نمونه های مختلف: (الف) PSN420 و (ب) PSN2SI

صفحات خاک رس را داراست و به سبب عدم نفوذ کامل یا عدم اعمال نیروی برشی کافی امکان حصول ساختار ورقه ای را نداشته است.

## نتیجه گیری

نانوکامپوزیت پلی استیرن - خاک رس با استفاده از روش پلیمرشدن رادیکالی انتقال اتم تهیه شد. وجود نانوذرات به علت برهم کنش بار الکترونی روی گروه های هیدروکسیل خاک رس مصرفی و حلقه فنیل استیرن، نقش کاتالیزور را در واکنش پلیمرشدن دارد و باعث افزایش سرعت پلیمرشدن می شود. نمودار نیمه لگاریتمی سینتیکی همواره به شکل خطی است و با افزایش مقدار نانوذرات و همچنین افزایش زمان  $k_{app}$  هم زدن افزایش شبیب نمودار مزبور و در نتیجه بیشتر شدن  $k_{app}$  ملاحظه می شود. وزن مولکولی نمونه های پلیمری استخراج شده از نمونه های نانوکامپوزیتی بیشتر از نمونه پلیمری خالص است و با افزایش مقدار نانوذرات و زمان تورم خاک رس، وزن مولکولی محصول افزایش یافته است. همچنین، نانوذرات باعث افزایش شاخص پراکندگی و در نتیجه پهن شدن توزیع وزن مولکولی می شود. پس وجود نانوذرات تا حد بسیار کمی از ماهیت زنده پلیمرشدن نسبت به پلیمرشدن خالص استیرن می کاهد. کاهش بازده آغازگر با افزایش مقدار نانوذرات نیز مؤید این مطلب است. افزون بر این، به جز نانوکامپوزیت

پیوندهای شیمیایی در نمونه های سنتز شده نیز در جدول ۴ آورده شده است. ملاحظه می شود که با افزایش مقدار نانوذرات شدت پیک های پراش مربوط به پیوندهای آن افزایش می یابد.

در شکل ۶ تصاویر حاصل از آزمون AFM آورده شده است. برای بررسی نحوه پراکنش نانوذرات در سطح نمونه های فیلم شده از روش مزبور استفاده شده است. در تصویر فازی، فاز غالب که فاز پلیمری است با رنگ تیره و فازهای متفاوت از فاز غیرپلیمری که خاک رس است، با رنگ روشن نشان داده شده است. بنابراین، در شکل های فازی امکان بررسی نحوه توزیع فاز ناپیوسته متفاوت فراهم می شود. در تصویر فازی ملاحظه می شود، توزیع مناسبی از نانوذرات حاصل شده است. برای بررسی پراکنش مناسب ذرات خاک رس (جدایش صفحات از هم علاوه بر پراکنش کلی ذرات) علاوه بر آزمون پراش پرتو X تصاویر کیفی حاصل از میکروسکوپ الکترون عبوری نیز نیاز است.

در شکل ۷ تصاویر حاصل از آزمون TEM آورده شده است. با توجه به نتایج مشاهده می شود، نمونه حاصل از پلیمرشدن درجا ساختار ورقه ای دارد و صفحات جداسده خاک رس که در زمینه پلی استیرن پراکنده شده اند، به وضوح دیده می شود. این در حالی است که نمونه حاصل از روش اختلاط در محلول ساختار ورقه ای ندارد و فقط صفحات خاک رس تا حدودی متورم و در زمینه پلیمری پراکنده شدند و ساختار بین لایه ای حاصل شده است. دلیل چنین امری سخت بودن زنجیر پلی استیرن با وزن مولکولی زیاد امکان نفوذ به فاصله بین

محدوده عدد موجی  $575\text{ cm}^{-1}$  که مؤید وجود پیوند C-Br است، نشان دهنده ماهیت زنده انتهای زنجیر است. نتایج AFM و TEM پراکنش مناسب نانوذرات را در زمینه پلیمری در نمونه PSN420 نشان می دهد. این در حالی است که نمونه حاصل از روش اختلاط در محلول مطابق با نتایج TEM ساختار بین لایه ای دارد.

تئیه شده به روش در محلول، سایر نانوکامپوزیت های تئیه شده به روش پلیمرشدن درجا حتی در درصد های زیاد خاک رس نیز ساختار ورقه ای دارند. یک FTIR مربوط به پیوندهای O-H و پیوند Si-O نانوذره خاک رس در نمونه های نانوکامپوزیتی تا حدودی جایی نشان می دهد که مؤید برهم کنش گروه Si-O و O-H نانوذرات خاک رس با توده الکترونی حلقة فنیل پلی استیرن است. وجود یک در

## مراجع

- Ray S. and Okamoto M., Polymer/Layered Silicate Nanocomposites: A Review from Preparation to Processing, *Prog. Polym. Sci.*, **28**, 1539-1641, 2003.
- Marius C., Heidecker M.J., Manias E., and Wilkie A., Preparation and Characterization of Poly(ethylene terephthalate)/Clay Nanocomposites by Melt Blending Using Thermally Stable Surfactants, *Polym. Adv. Technol.*, **17**, 764-771, 2006.
- Ginzburg V., Singh C., and Balazs C., Theoretical Phase Diagrams of Polymer/Clay Composites: The Role of Grafted Organic Modifiers, *Macromolecules*, **33**, 1089-1099, 2000.
- Akelah A. and Moet A., Polymer-Clay Nanocomposites: Free-radical Grafting of Polystyrene on to Organophilic Montmorillonite Interlayers, *J. Mater. Sci.*, **31**, 3589-3596, 1996.
- Fu X. and Qutubuddin S., Polymer-Clay Nanocomposites: Exfoliation of Organophilic Montmorillonite Nanolayers in Polystyrene, *Polymer*, **42**, 807-813, 2001.
- Wang D., Zhu J., Yao Q., and Wilkie A., A Comparison of Various Methods for the Preparation of Polystyrene and Poly(methyl methacrylate) Clay Nanocomposites, *Chem. Mater.*, **14**, 3837-3843, 2002.
- Liu G., Zhang L., Zhao D., and Qu X., Bulk Polymerization of Styrene in the Presence of Organomodified Montmorillonite, *J. Appl. Polym. Sci.*, **98**, 1932-1937, 2005.
- Diaconu G., Paulis M., and Leiza J., High Solids Content Water-borne Acrylic/ Montmorillonite Nanocomposites by Miniemulsion Polymerization, *Macromol. Reac. Eng.*, **2**, 80-89, 2008.
- Ray S. and Okamoto M., Polymer/Layered Silicate Nanocomposites: A Review from Preparation to Processing, *Prog. Polym. Sci.*, **28**, 1539-1641, 2003.
- Braunecker W. and Matyjaszewski K., Controlled/Living Radical Polymerization: Features, Developments, and Perspectives, *Prog. Polym. Sci.*, **32**, 93- 146, 2007.
- Jakubowski W. and Matyjaszewski K., Activator Generated by Electron Transfer for Atom Transfer Radical Polymerization, *Macromolecules*, **38**, 4139- 4146, 2005.
- Patten T. and Matyjaszewski K., Atom Transfer Radical Polymerization and the Synthesis of Polymeric Materials, *Adv. Mater.*, **10**, 901-915, 1998.
- Matyjaszewski K. and Xia J., Atom Transfer Radical Polymerization, *Chem. Rev.*, **101**, 2921- 2990, 2001.
- Zhou Q., Fan X., Xia Ch., Mays J., and Advincula R., Living Anionic Surface Initiated Polymerization (SIP) of Styrene from Clay Surfaces, *Chem. Mater.*, **13**, 2465-2467, 2001.
- Fan X., Xia Ch., and Advincula R., On the Formation of Narrowly Polydispersed PMMA by Surface Initiated Polymerization (SIP) from AIBN-Coated/Intercalated Clay Nanoparticle Platelets, *Langmuir*, **21**, 2537-2544, 2005.
- Zhao H., Argot S., Farrel P., and Shipp A., Polymer-Silicate Nanocomposites Produced by In Situ Atom Transfer Radical Polymerization, *J. Polym. Sci., Part A: Polym. Chem.*, **42**, 916- 924, 2004.
- Haimanti D., Nikhil S., and Anil B., Beneficial Effect of Nanoclay in Atom Transfer Radical Polymerization of Ethyl Acrylate: A One Pot Preparation of Tailor-Made Polymer Nanocomposite, *Macromolecules*, **41**, 50-57, 2008.
- Behling R.E., Williams B.A., Staade B.L., Wolf L.M., and Cochran E.W., Influence of Graft Density on Kinetics of Surface-Initiated ATRP of Polystyrene from Montmorillonite, *Macromolecules*, **42**, 1867-1872, 2009.
- Kim H., Lee W., Jang C., Choi J., and Jhon S., Synthesis and Rheology of Intercalated Polystyrene/ $\text{Na}^+$  Montmorillonite Nanocomposites, *Macromol. Rapid Commun.*, **23**, 191-195, 2002.
- Haimanti D., Nikhil S., and Anil B., Structure and Properties of Tailor-Made Poly(ethyl acrylate)/Clay Nanocomposites Prepared by In Situ Atom Transfer Radical Polymerization, *J. Appl. Polym. Sci.*, **108**, 2398-2407, 2008.
- Haimanti D., Nikhil S., and Anil B., Tailor-Made Hybrid Nanostructure of Poly(ethyl acrylate)/Clay by Surface-Initiated Atom Transfer Radical Polymerization, *J. Polym. Sci., Part A: Polym. Chem.*, **46**, 5014-5027, 2008.